



#### 4. 溶岩ドーム崩壊時の三次元安定解析結果と考察

1991年9月15日および1992年8月8日に発生した火砕流の源となった溶岩ドーム崩壊時の三次元安定解析結果を図-1に示す。なお、図-1には1991年6月8日に発生した火砕流の原因となった溶岩ドーム崩壊の安定解析結果も同時に示している<sup>2)</sup>。崩壊した溶岩ドームの平均厚は約30m-40mであるのですべり面での地盤の粘着力(C)を一般の地すべりにおける値を参考に2.5tf/m<sup>2</sup>と仮定すると図-1より地盤の内部摩擦角( $\phi$ )は約29-37度となり、一般的な岩盤地すべりにおけるすべり面の土質強度とほぼ一致する。雲仙岳で発生した他の火砕流発生時の溶岩ドームの崩壊についても同様の解析を行うことですべり面における土質強度をさらに精度良く推定できるものと考えられる。

#### 5. おわりに

火砕流発生前後に撮影された空中写真を用いて溶岩ドームの成長と崩壊に伴う地形変化を計測した。この地形情報に基づき1991年9月15日および1992年8月8日に雲仙普賢岳で発生した火砕流の源となった溶岩ドームの崩壊について三次元安定解析によりすべり面における土質強度を得た。このような手法を発展させることにより将来的には雲仙普賢岳で発生しているようなメラビ型火砕流については溶岩ドームの崩壊予測(場所、土砂量、時刻)がある程度可能になると考えられる。

#### 参 考 文 献

- 1) 建設省土木研究所地すべり研究室; Hovland法による地すべり三次元安定解析手法、土木研究所資料第2265号, p.44、1985
- 2) 石川芳治、山田孝、矢島重美、千葉達朗; 1991年雲仙普賢岳における溶岩ドームの崩壊機構、平成4年度砂防学会研究発表会概要集、pp.328-331

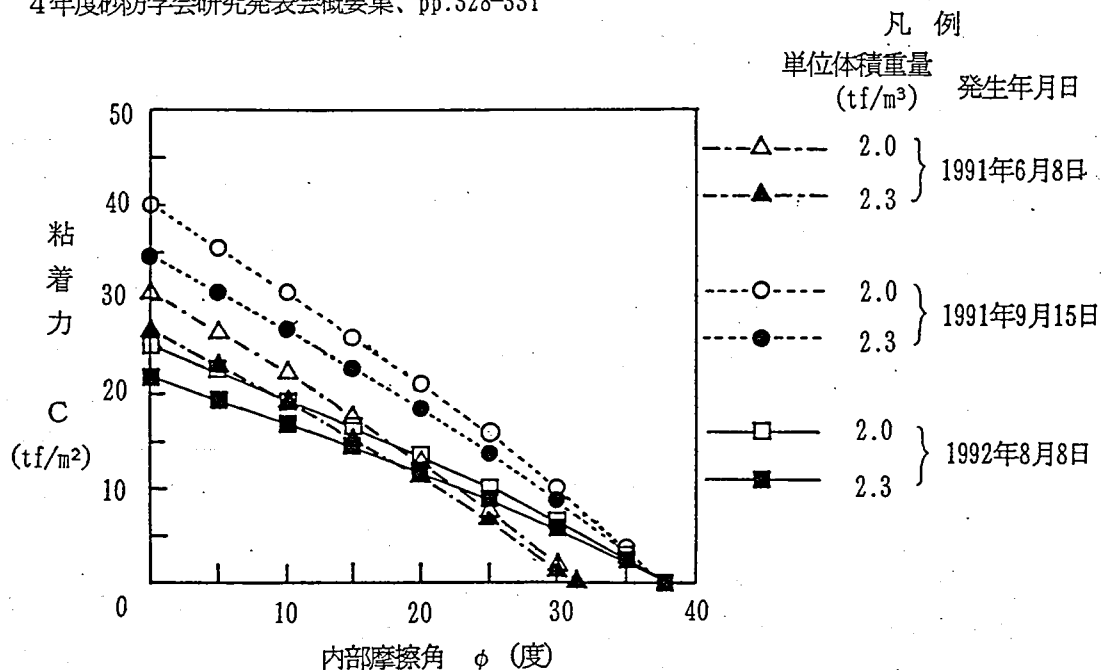


図-1 溶岩ドーム崩壊時のすべり面土質強度